

بررسی انتخاب‌پذیری طولی ماهی سرخو معمولی (*Lutjanus johni* Bloch, 1792) براساس رابطه طول-دور بدن در تورهای آبهای ساحلی بندرعباس

نجمه حقیقت‌جو^۱، سعید گرگین^{*}^۱، سید عباس حسینی^۲، منوچهر بابانژاد^۳

*sgorgin@gau.ac.ir

۱- گروه تولید و بهره‌برداری آبزیان، دانشکده شیلات و محیط زیست، دانشگاه علوم کشاورزی و منابع طبیعی گرگان، گرگان، ایران

۲- مرکز تحقیقاتی شیلاتی آبهای دور، سازمان تحقیقات، آموزش و ترویج کشاورزی، چابهار، ایران

۳- گروه آمار، دانشکده علوم، دانشگاه گلستان، گرگان، ایران

تاریخ پذیرش: دی ۱۳۹۶

تاریخ دریافت: مهر ۱۳۹۶

چکیده

گونه سرخو معمولی (*Lutjanus johni* Bloch, 1792) از مهمترین گونه‌های تجاری در خلیج فارس و دریای عمان به شمار می‌آید. این گونه در استان هرمزگان غالباً بوسیله تورهای گوشگیر صید می‌شود. در این تحقیق از تور گوشگیری با اندازه چشمde در حالت کشیده (گره تا گره مقابل) ۱۷ cm جهت بررسی انتخاب‌پذیری تور با استفاده از روابط طول-دور بدن در آبهای ساحلی بندرعباس مورد بررسی قرار گرفت. عملیات نمونه‌برداری در ماههای اردیبهشت و تیر ۱۳۹۵ انجام گرفته و در طی ۲۱۰ بار تور ریزی ۱۱۰۷ نمونه ماهی بدست آمد. وزن، طول استاندارد و محیط ۴ نقطه از بدن (محل قرار گیری چشم، سرپوش آبشی، ابتدای باله پشتی و بیشترین ارتفاع بدن) نمونه‌ها اندازه گیری شد. با توجه به داده‌های حاصل، رگرسیون‌های طول-وزن و طول-دور بدن و منحنی انتخاب پذیری تور رسم گردید. نتایج نشان داد، طول بدن با افزایش وزن و اندازه محیط دور بدن افزایش می‌یابد. با توجه به محیط بدن در دو نقطه دور برانش و بیشترین ارتفاع بدن، محدوده انتخاب پذیری تورهای گوشگیر مورد بررسی بین ۶۲ تا ۷۶ سانتی متر تعیین گردید که بر اساس آن طول بهینه صید نیز ۶۹ سانتی متر تعیین شد. در نهایت با توجه به بالاتر بودن مقدار طول بهینه صید از اولین طول بلوغ جنسی Lm^{۵۰} تعیین شده برای گونه سرخو معمولی، می‌توان چنین نتیجه گرفت که تور گوشگیر با اندازه چشمde ۱۷ سانتی متر مناسب صید این گونه می‌باشد.

لغات کلیدی: سرخو معمولی، تور گوشگیر، رابطه طول-دور بدن، خلیج فارس

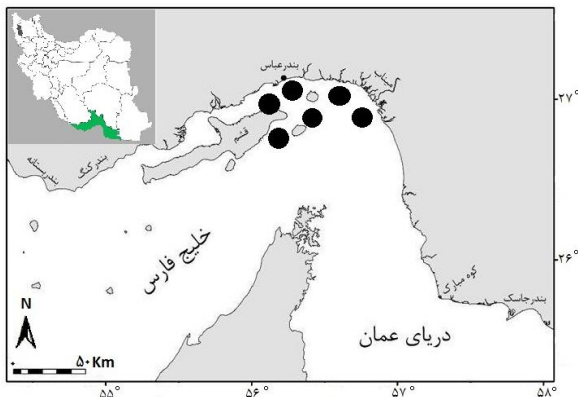
*نویسنده مسئول

۴۵ مقدمه

ادوات صیادی و عدم وجود تور گوشگیر اختصاصی برای صید گونه با ارزش سرخو معمولی در آبهای بندرعباس و ضرورت تعیین نحوه صید شدن ماهی توسط این تورها، تصمیم گرفته شد تا مطالعه‌ای در این زمینه صورت گیرد.

مواد و روش‌ها

این تحقیق از ۶ تا ۲۶ اردیبهشت و ۱۰ تا ۲۳ تیر ماه سال ۱۳۹۵ با بررسی ماهیان سرخو معمولی صید شده از آبهای محدوده بین بندرعباس، قشم، لارک، هرمز و میناب انجام شد (شکل ۱).



شکل ۱: مناطق نمونه برداری در آبهای محدوده بندرعباس (●)
Figure 1: Sampling area in the waters of Bandar Abbas (●)

تعداد ۱۱۰۷ نمونه ماهی سرخو معمولی توسط تورهای گوشگیر کفی با اندازه چشمی در حالت کشیده (STR cm) (STR) از جنس نایلون با شماره نخ D/۴۲ تا ۲۱۰ D/۵۴ به ارتفاع ۱۰ متر مت Shank از ۵۰ طاقه تور ۲۰۰ یاردی، توسط ۲۱ فروند شناور کلاس لنچ در طی ۲۱۰ بار تور ریزی بدست فروند شناور کلاس لنچ در طی ۲۱۰ بار تور ریزی بدست آمدند. عملیات زیست سنجی و توزین نمونه‌ها در زمان پهلوگیری شناورها در اسکله‌ی پشت شهر (بندرعباس) بر روی عرش شناورها انجام گردید. برای این منظور پس از شناسایی دقیق نمونه‌ها از ترکیب صید، وزن هر نمونه با ترازوی دیجیتال با دقت g ۱۰ اندازه گیری شد. سپس طول کل (TL) نمونه‌ها با کمک تخته بیومتری با دقت ۰/۵ cm اندازه-گیری شد. در انتهای، محیط دور بدن هر ماهی با قرار دادن نخ پلی آمیدی در ۴ نقطه از دور بدن ماهی شامل دور چشم (G₁)، دور سرپوش آبششی (G₂)، دور بدن در ابتدای باله

خليج فارس در عرض جغرافیایی نیمه استوایی بین ۲۵-۳۵ درجه شمالی و ۴۸-۵۶ درجه شرقی قرار دارد (ولی نسب و هاشمی، ۱۳۹۵). موقعیت جغرافیایی خاص این محدوده سبب شده است که از تنوع بالایی از آبیان برخوردار باشد (Kuronuma and Abe, 1986) در آبهای این محدوده زیست می‌کنند، گونه سرخو معمولی (Lutjanus johni Bloch, 1792) از خانواده سرخو ماهیان است. این خانواده به دلیل ارزش اقتصادی بالا، در میان صیادان، دارای طرفداران زیادی می‌باشد (Veneza et al., 2017). ماهی سرخو معمولی در آبهای بندرعباس اغلب توسط تورهای گوشگیر صید می‌شود. تور گوشگیر در مقایسه با سایر ادوات صیادی دارای بالاترین میزان انتخاب‌پذیری است (Cilbiz et al., 2014). توجه به این ویژگی، امری ضروری در مدیریت صید است (Carol and Garcí'a-Berthou, 2006). اندازه چشمی و ویژگی‌های مربوط به مورfolوژی ماهی شامل طول و محیط دور بدن ماهی از عوامل تأثیرگذار در انتخاب‌پذیری تور گوشگیر است (Santos et al., 2006). اگرچه در خارج از کشور تاکنون تحقیقات زیادی در خصوص انتخاب‌پذیری تورهای گوشگیر صورت گرفته (Pramanik et al., 2017; Pet et al., 1995; Holst et al., 1998; Ozekinci, 2003) اما کمتر تحقیقی در ایران در این باره انجام شده است و تحقیقات صورت گرفته قبلی به موضوعات غیر از انتخاب‌پذیری پرداخته شده است (تمسکی و همکاران، ۱۳۹۵) Hosseini و همکاران (۲۰۱۷) با مطالعه انتخاب‌پذیری شش تور گوشگیر ماهی قباد با اندازه‌های مختلف چشمی در شمال خلیج فارس بر اساس اندازه‌های محیط دور بدن ماهی به این نتیجه رسیدند که اندازه چشمی ۹۰ میلی‌متر مناسب‌ترین اندازه چشمی برای صید این گونه می‌باشد. از آنجایی که ماهی اغلب به یکی از روش‌های پوزه‌گیری، گوش-گیری، تنه‌گیری و تورپیچ شدن در تور به دام می‌افتد (Grati et al., 2015) لذا صید در تورهای گوشگیر بر اساس فرم دور Karakulak and (Erk, 2008). به همین دلیل در مطالعات انتخاب‌پذیری اندازه‌گیری محیط دور بدن دارای اهمیت است (Carol and Garcí'a-Berthou, 2006). با توجه به اهمیت انتخاب‌پذیری

که در این فرمول $\text{Passing}_{\text{Gill}}$: احتمال عبور ماهی‌هایی که محیط دور بدن آن‌ها از محیط چشم‌هی تور کوچکتر است، φ : تابع توزیع تجمعی نرمال استاندارد، b_{G_2} : شیب خط معادله رگرسیون طول-دور بدن در قسمت سرپوش آبششی، a_{G_2} : عرض از مبدأ معادله رگرسیون طول-دور بدن در قسمت سرپوش آبششی، TL_i : طول بدن در طبقه طولی i واریانس اندازه ۱۰ چشم و Sd_{G_2} : میانگین انحراف معیار اندازه‌های محیط سرپوش آبششی در تمام طبقات طولی

برای محاسبه احتمال گیر افتادن ماهی با محیط دور بدن بیشتر از محیط چشم‌هی تور از فرمول زیر استفاده شد؛

$$\text{Retain}_{\max} = 1 - \Phi\left(\frac{(2 \times m) - (b_{G_{\max}} \times TL_i + a_{G_{\max}}) \times K_{\max}}{\sqrt{Sd_{G_{\max}}^2 + \text{Var}_{\text{mesh}}^2}}\right) \quad (4)$$

Retain_{\max} : احتمال گیر افتادن ماهی‌هایی که محیط دور بدن آن‌ها از محیط چشم‌هی تور بزرگ‌تر است، $b_{G_{\max}}$: شیب خط معادله رگرسیون طول-دور بدن در قسمت بیشترین ارتفاع بدن، $a_{G_{\max}}$: عرض از مبدأ معادله رگرسیون طول-دور بدن در قسمت بیشترین ارتفاع بدن و $Sd_{G_{\max}}$: میانگین انحراف معیار اندازه‌های محیط بیشترین ارتفاع بدن در تمام طبقات طولی

در نهایت، نمودار انتخاب‌پذیری طولی تور گوشگیر طبق رابطه ۵ و ۶ رسم گردید؛

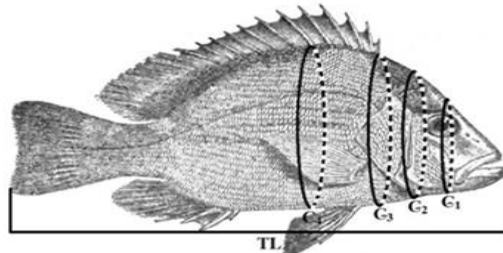
$$\text{Pass. Retain} = \text{Passing}_{\text{Gill}} \times \text{Passing}_{\text{Gill}} \quad (5)$$

$$\text{Relative} = \frac{\text{Pass. Retain}_i}{\text{Max Pass. Retain}} \quad (6)$$

نتایج

با توجه به عده‌های به دست آمده از طول کل و وزن هر یک از ماهیان، رگرسیون رابطه طول-وزن نمونه‌ها رسم گردید (شکل ۳). بر اساس اختلافات مشاهده شده در مجموع مربعات اثر دور بدن با توجه به طول استاندارد، بیشترین محیط دور بدن مربوط به G_4 است که بر همین اساس به عنوان G_{\max} نامگذاری گردید (شکل ۴). طول‌های کل نمونه‌های بدست آمده طبق جدول ۱ به ۳۰ کلاسه تقسیم‌بندی گردیده، میانگین و انحراف معیار برای محیط‌های دور بدن و همچنین

پشتی (G_3) و دور بدن در بیشترین ارتفاع بدن (G_4) اندازه-گیری شد (شکل ۲).



شکل ۲: نقاط اندازه گیری شده دور بدن ماهی سرخو معمولی
Fig 2- Measured points of crimson snapper body

داده‌های حاصل در نرم‌افزار Excel نسخه ۲۰۱۳ وارد و سپس آنالیز داده‌ها و رسم منحنی انتخاب‌پذیری، توسط نرم‌افزار R صورت گرفت. تجزیه و تحلیل داده‌ها به روش Pet و همکارانش (۱۹۹۵) و بر اساس فرمول‌ها و محاسبات زیر صورت گرفت. جهت برآورد ضریب انتخاب‌پذیری سرپوش آبششی K_{Gill} (Sechin ۱۹۶۹) از فرمول (K_{Gill}) به شرح ذیل استفاده شد:

$$K_{\text{Gill}} = \frac{(2 \times m)}{G_2} \quad (1)$$

K_{Gill} : ضریب انتخاب‌پذیری سرپوش آبششی، m : محیط چشم و G_2 : میانگین اندازه‌های محیط محل قرارگیری سرپوش آبششی جهت برآورد فاکتور انتخاب‌پذیری بیشترین ارتفاع بدن (K_{\max}) از فرمول King و Clarke (۱۹۸۶) استفاده شد:

$$K_{\max} = \frac{(2 \times m)}{G_{\max}} \quad (2)$$

که در این فرمول نیز K_{\max} : ضریب انتخاب‌پذیری بیشترین ارتفاع بدن، m : محیط چشم و G_{\max} : میانگین اندازه‌های محیط بیشترین ارتفاع بدن می‌باشد.

جهت محاسبه احتمال عبور ماهی‌ها از داخل چشم‌هی تور از فرمول Pet و همکارانش (۱۹۹۵) استفاده شد:

$$\text{Passing}_{\text{Gill}} = \varphi\left(\frac{(2 \times m) - (b_{G_2} \times TL_i + a_{G_2}) \times K_{\text{Gill}}}{\sqrt{Sd_{G_2}^2 + \text{Var}_{\text{mesh}}^2}}\right) \quad (3)$$

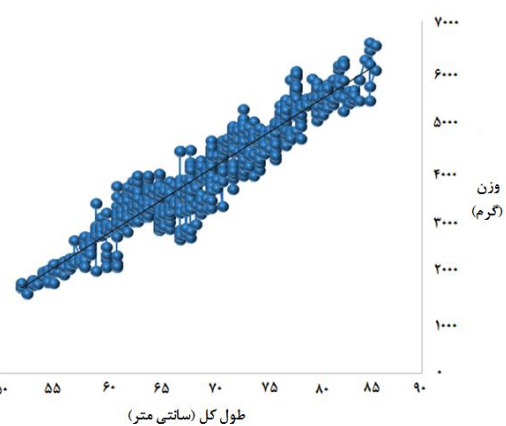
بترتیب $67/9$ ، $85/5$ و 52 cm بود. میانگین، بیشترین و کمترین وزن مشاهده شده بترتیب $3793/70$ ، $3793/70$ و 1560 و 6550 گرم بود. میانگین، بیشترین و کمترین محیط محل قرار گیری سرپوش آبششی بترتیب $36/72$ ، $46/5$ و $27/5$ سانتی‌متر بود. میانگین، بیشترین و کمترین محیط محل بیشترین ارتفاع بدن بترتیب $47/18$ ، 60 و $35/5$ سانتی‌متر تعیین شد. رگرسیون رابطه‌ی طول و وزن (شکل ۳) و همچنین رگرسیون‌های رابطه‌ی دور بدن و طول کل در تمامی نقاط اندازه‌گیری شده (شکل ۴)، همگی خطی و مثبت بودند.

چنانچه در شکل ۵ نشان داده شده است احتمال صید ماهیانی که دارای طول‌های $52-65$ سانتی‌متر بودند، صفر و برای طول‌های 79 سانتی‌متر و بیشتر، این احتمال 1 است. بر همین اساس احتمال گزین ماهیان $52-61$ سانتی‌متر از چشممه یک و برای طول‌های 74 سانتی‌متر و بیشتر، این احتمال صفر می‌باشد. بر اساس شکل ۶ محدوده انتخاب‌پذیری تور گوشگیر با اندازه‌ی چشممه 17 سانتی‌متر برای ماهی سرخو معمولی $45/53$ سانتی‌متر و $L_m 50$ ماهی 67 سانتی‌متر مشخص گردید. تعیین شده دارای میانگین وزن $3419/62$ گرم، میانگین اندازه‌ی محیط محل قرار گیری سرپوش آبششی $36/67$ سانتی‌متر و میانگین اندازه‌ی محیط محل قرار گیری بیشترین ارتفاع بدن $45/53$ سانتی‌متر بود. شکل ۷ نمودار فراوانی بدام افتادن ماهی را در هریکاز بخش‌های دور چشم، دور سرپوش آبششی و بیشترین ارتفاع بدن نشان می‌دهد. در مجموع، $46/88$ درصد ماهیان به تعداد 519 عدد از محل بیشترین ارتفاع بدن، $32/15$ درصد یعنی 356 عدد از ماهیان از محل قرار گیری سرپوش آبششی و $20/95$ درصد از ماهیان معادل 232 عدد از محل دور چشم به دام افتادند.

بحث

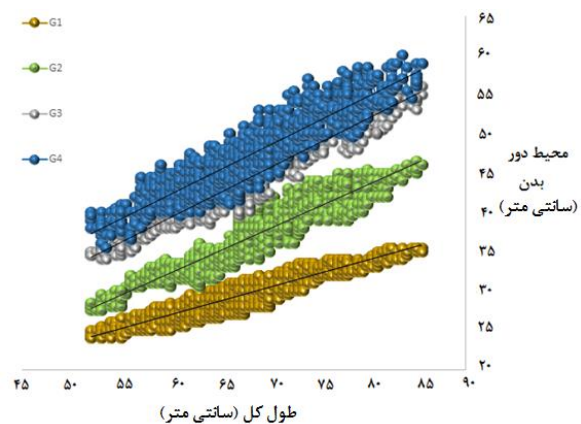
در این پژوهش با توجه به تور مورداستفاده برای سرخو معمولی، دامنه طول‌های صید شده $52-86$ سانتی‌متر مشاهده گردید. کمالی (۱۳۸۰) بیشینه طول مشاهده شده ماهی سرخو را در آب‌های هرمزگان 88 سانتی‌متر بیان کرد. این در حالی است که حداقل طول مشاهده شده توسط Allen (1985) برای این گونه 60 سانتی‌متر اعلام شد.

میانگین وزن در هر کلاس طولی مشخص شد. شکل ۴ رابطه‌ی رگرسیون بین ارتفاعات بدن (G_1 ، G_2 ، G_3 و G_4) و طول کل را نشان می‌دهد.



شکل ۳: رگرسیون طول کل و وزن ماهی سرخو معمولی

Figure 3: Regression between the total length and weight of *L. johni*



شکل ۴: رابطه طول کل و محیط دور بدن ماهی سرخو معمولی

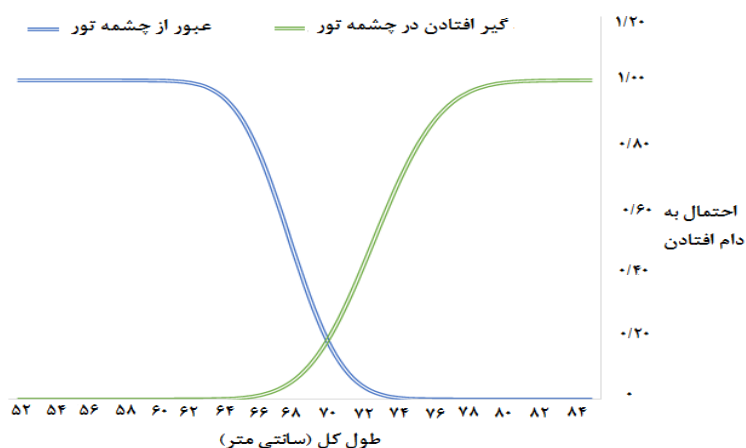
Figure 4: Regression between the total length and body girth of *L. johni*

همانطوریکه مشاهده می‌شود، بین طول کل و ارتفاع بدن رابطه مستقیمی وجود دارد. بعلاوه با توجه به شیب خط و عرض از مبدأ، رابطه دور برانش و طول کل به ترتیب $a_{G_1} = -1/2153$ و $b_{G_1} = 0/5588$ محاسبه گردید. همچنین شیب و عرض از مبدأ رابطه بیشترین ارتفاع بدن و طول کل نیز بترتیب $a_{G_{max}} = 0/6221$ و $b_{G_{max}} = 4/9443$ محاسبه گردیدند. میانگین، بیشترین و کمترین طول مشاهده شده

جدول ۱: فراوانی طول کل ماهیان صید شده بر اساس میانگین و انحراف معیار دور سرپوش آبشنی و حداکثر محیط بدن

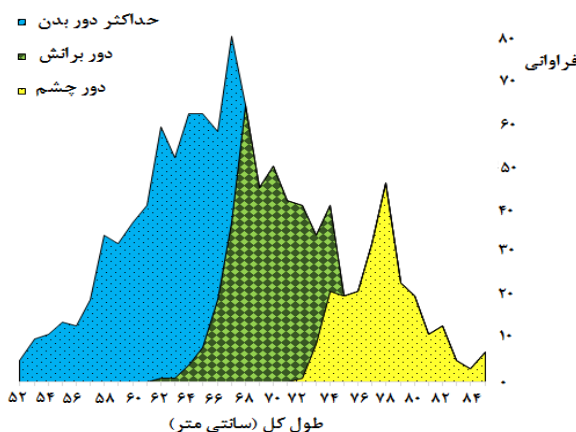
Table 1: The total length frequency of fish based on means and standard deviations of the branch girth (G_2) and the maximum girth (G_{\max})

| میانگین وزن میانگین (g) | انحراف معیار حداکثر ارتفاع (G _{max}) | میانگین حداکثر ارتفاع (G _{max}) | انحراف معیار دور برواش (G ₂) | میانگین دور برواش (G ₂) | طبقات طولی (TL) | وزن میانگین (g) | انحراف معیار حداکثر ارتفاع (G _{max}) | میانگین حداکثر ارتفاع (G _{max}) | انحراف معیار دور برواش (G ₂) | میانگین دور برواش (G ₂) | طبقات طولی (TL) |
|-------------------------|--|---|--|-------------------------------------|-----------------|-----------------|--|---|--|-------------------------------------|-----------------|
| ۳۸۲۲/۸۹ | ۲/۱۸ | ۴۷/۴۶ | ۱/۴۱ | ۳۷/۱۰ | ۶۹-۷۰ | ۱۶۸۲/۰۰ | ۰/۸۹ | ۳۸/۹۰ | ۰/۴۲ | ۲۷/۹۰ | ۵۲-۵۳ |
| ۴۰۲۰/۸۰ | ۱/۹۹ | ۴۸/۶۱ | ۱/۷۰ | ۳۸/۷۴ | ۷۰-۷۱ | ۱۷۶۷/۰۰ | ۱/۳۸ | ۳۷/۷۰ | ۰/۶۱ | ۲۸/۶۰ | ۵۳-۵۴ |
| ۴۴۲۹/۲۹ | ۲/۰۱ | ۴۹/۲۴ | ۱/۱۹ | ۳۹/۷۴ | ۷۱-۷۲ | ۱۹۱۵/۴۵ | ۱/۰۷ | ۳۹/۷۴ | ۰/۷۰ | ۲۸/۹۱ | ۵۴-۵۵ |
| ۴۵۹۹/۰۲ | ۲/۲۶ | ۵۰/۱۳ | ۱/۹۶ | ۳۹/۵۶ | ۷۲-۷۳ | ۲۰۵۷/۸۶ | ۱/۱۵ | ۳۹/۷۱ | ۰/۸۴ | ۲۹/۴۶ | ۵۵-۵۶ |
| ۴۶۰۲/۴۱ | ۱/۷۷ | ۵۰/۳۷ | ۱/۵۵ | ۴۰/۰۶ | ۷۳-۷۴ | ۲۱۳۸/۴۶ | ۱/۸۲ | ۳۸/۹۶ | ۰/۴۸ | ۳۱/۲۳ | ۵۶-۵۷ |
| ۴۶۰۲/۲۰ | ۲/۱۰ | ۵۲/۴۳ | ۱/۲۹ | ۴۱/۶۰ | ۷۴-۷۵ | ۲۲۷۰/۰۰ | ۱/۷۴ | ۴۱/۴۸ | ۰/۵۸ | ۳۱/۶۰ | ۵۷-۵۸ |
| ۴۶۱۲/۰۰ | ۱/۸۰ | ۵۱/۹۵ | ۱/۴۰ | ۴۱/۹۰ | ۷۵-۷۶ | ۲۵۶۲/۹۴ | ۱/۴۵ | ۴۲/۰۷ | ۰/۷۵ | ۳۲/۱۸ | ۵۸-۵۹ |
| ۴۸۲۳/۸۱ | ۱/۵۲ | ۵۱/۰۷ | ۱/۵۴ | ۴۱/۸۱ | ۷۶-۷۷ | ۲۸۲۰/۹۴ | ۱/۷۱ | ۴۲/۰۳ | ۰/۸۵ | ۳۲/۳۹ | ۵۹-۶۰ |
| ۴۸۹۲/۸۱ | ۲/۱۴ | ۵۳/۷۲ | ۱/۸۲ | ۴۲/۰۳ | ۷۷-۷۸ | ۲۷۷۷/۵۷ | ۱/۴۵ | ۴۳/۰۹ | ۰/۷۸ | ۳۲/۴۶ | ۶۰-۶۱ |
| ۵۳۷۸/۳۹ | ۱/۹۵ | ۵۳/۲۸ | ۱/۸۴ | ۴۱/۰۷ | ۷۸-۷۹ | ۳۰۰۶/۱۰ | ۱/۸۲ | ۴۲/۹۵ | ۰/۵۹ | ۳۲/۶۱ | ۶۱-۶۲ |
| ۵۴۰۸/۶۹ | ۲/۲۵ | ۵۴/۰۰ | ۱/۴۸ | ۴۲/۱۳ | ۷۹-۸۰ | ۳۲۴۴/۷۵ | ۱/۷۶ | ۴۳/۸۱ | ۰/۸۳ | ۳۲/۸۵ | ۶۲-۶۳ |
| ۵۳۷۷/۵۰ | ۲/۰۶ | ۵۵/۴۵ | ۱/۳۸ | ۴۳/۴۵ | ۸۰-۸۱ | ۳۲۸۵/۳۹ | ۱/۶۰ | ۴۳/۵۷ | ۱/۲۹ | ۳۳/۵۱ | ۶۳-۶۴ |
| ۵۵۱۰/۰۰ | ۱/۳۸ | ۵۴/۹۱ | ۱/۱۰ | ۴۳/۳۲ | ۸۱-۸۲ | ۳۴۹۶/۱۳ | ۲/۰۵ | ۴۴/۰۴ | ۰/۸۸ | ۳۳/۶۵ | ۶۴-۶۵ |
| ۵۸۱۶/۱۵ | ۲/۰۴ | ۵۵/۶۹ | ۰/۹۴ | ۴۴/۱۲ | ۸۲-۸۳ | ۲۲۲۲/۲۶ | ۱/۶۷ | ۴۵/۰۲ | ۰/۸۱ | ۳۴/۰۲ | ۶۵-۶۶ |
| ۵۴۸۲/۰۰ | ۱/۶۴ | ۵۷/۸۰ | ۰/۷۱ | ۴۵/۰۰ | ۸۳-۸۴ | ۳۲۹۲/۷۶ | ۲/۱۸ | ۴۵/۰۳ | ۰/۹۵ | ۳۴/۹۸ | ۶۶-۶۷ |
| ۵۸۱۰/۰۰ | ۲/۰۸ | ۵۶/۱۷ | ۰/۵۰ | ۴۵/۰۰ | ۸۴-۸۵ | ۳۴۳۲/۰۰ | ۲/۱۸ | ۴۶/۰۲ | ۱/۴۳ | ۳۶/۸۶ | ۶۷-۶۸ |
| ۶۰۹۴/۲۹ | ۱/۲۹ | ۵۷/۷۱ | ۰/۴۹ | ۴۵/۷۹ | ۸۵-۸۶ | ۳۶۳۷/۶۶ | ۱/۹۲ | ۴۶/۰۲ | ۱/۶۳ | ۳۷/۵۳ | ۶۸-۶۹ |



شکل ۵: احتمال به دام افتادن و خروج ماهی سرخو معمولی از تور

Figure 5: The probability of trapping and passing of *L. johnni*.

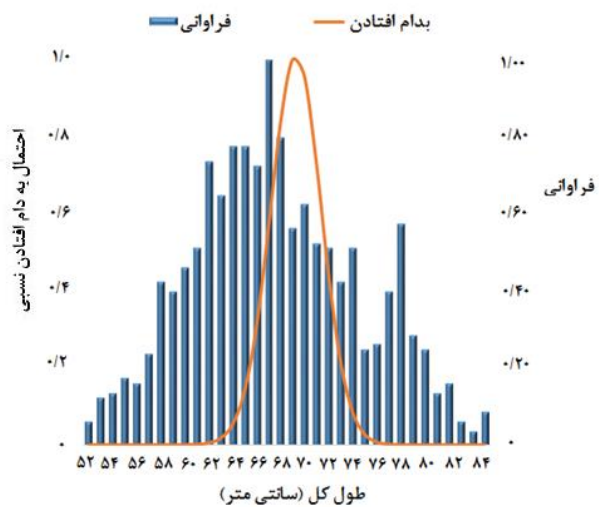


شکل ۷: فراوانی طول بر اساس حالت صید ماهی در رابطه با ماهی سرخو معمولی

Figure 7: Length distribution of fish based on capture situation.

سوی ایشان، این منحنی به شکل گستردگرتری بود بطوریکه منحنی انتخاب‌پذیری و نمودار فراوانی تقریباً با هم تطابق داشتند. بر همین اساس می‌توان علت عدم همپوشانی بخش‌هایی از نمودار فراوانی در محدوده انتخاب‌پذیری را این دانست که در حدود ۲۱ درصد از محل هایی جز محل قرارگیری سرپوش آبیشی و حداکثر دور بدن به دام افتاده بودند (Pet *et al.*, 1995). اما در نهایت با مقایسه طول بهینه صید به دست آمده در این تحقیق با مقدار بدست آمده اولین طول بلوغ جنسی (L_{m50}) توسط کمالی (۱۳۸۰) یعنی ۴۴ سانتی‌متر، می‌توان به این نتیجه رسید که تورهای گوشگیر منطقه در بازه زمانی مورد مطالعه از لحاظ زیستی برای صید ماهی سرخو مناسب می‌باشند.

در این پژوهش اندازه هیچ یک از ماهیان مشاهده شده کمتر از اندازه اولین بلوغ برای گونه مورد نظر نبود. با این وجود از آنجایی که نسبت هایی از ماهیان از طریق غیر چشمگیر صید گردیدند، پیشنهاد می‌شود که این تحقیق با استفاده از و از طریق برآش آزمایش چشممه تورهای مختلف منحنی‌های یک نمایی و منحنی دو نمایی بی‌نرمال) در بازه



شکل ۶: منحنی انتخاب‌پذیری تور گوشگیر ۱۷ سانتی‌متر

Figure 6: Selectivity curve of gillnet with 17 cm mesh size in relation to *L. johni*.

یکی از علل این اختلاف‌ها را می‌توان در عمق استقرار این گونه در فصول تخم‌ریزی و سایر فصول دانست. بطوریکه تحقیقات گذشته نشان دهنده اختلاف در عمق استقرار ماهی‌های ماده و نر در فصل تخم‌ریزی است (Fitzhugh, 1993). حسینی (۱۳۸۲) با بررسی تورهای گوشگیر ماهی گیدر با اندازه‌ی چشممه ۱۴۵، ۱۴۵، ۲۱۵، ۱۹۷، ۲۱۵ و ۲۳۷ میلی‌متر در دو گروه سطحی و عمقی به این نتیجه رسید که مناسب‌ترین اندازه چشممه برای این گونه چشممه ۲۱۵ میلی‌متری است، زیرا در این چشممه ۹۶ درصد ماهیان گوشگیر شدند.

در این تحقیق ۴۶/۸۸ درصد ماهیان سرخو از محل حداکثر ارتفاع بدن، ۳۵/۱۵ درصد از محل دور برانش و ۲۰/۹۵ درصد از محل دور چشم به دام افتادند. پس از رسم نمودار فراوانی و منحنی انتخاب‌پذیری مشاهده شد که این دو نمودار با هم تطابق نداشته و بخشی از نمونه‌های صید شده در زیر منحنی انتخاب‌پذیری قرار نگرفتند. Ozekinci در سال ۲۰۰۳ بیان کرد که شکل منحنی انتخاب‌پذیری بستگی زیادی به تفاوت بین محیط بدن ماهی و محیط چشممه دارد. وی بیان کرد که اگر این تفاوت اندک باشد، منحنی انتخاب‌پذیری باریک‌تر بوده و اگر تفاوت زیاد باشد منحنی سطح گستردگرتری از نمودار فراوانی را بخود اختصاص خواهد داد. در تحقیق انجام شده از

carp (*Carassius gibelio* Bloch, 1782) in Eğirdir Lake, Isparta, Turkey. Turkish Journal of Fisheries and Aquatic Sciences, 14: 905-913. DOI: 10.4194/1303-2712-v14_4_09.

Clarke, D. R. and King, P. E., 1986. The estimation of gillnet selection curves for Atlantic herring (*Clupea harengus* L.) using length/girth relations. J. Con. Int. Exp. Mer, 43:77-82.

Fitzhugh, G. R., Thompson, B. A. and Snider, T. G., 1993. Ovarian development, fecundity, and spawning frequency of black drum *Pogonias cromis* in Louisi and fishery bulletin, U.S. Vol. 91, pp. 244-253.

Grati, F., Bolognini, L., Domenichetti, F., Fabi, G., Polidori, P., Santelli, A., Scarcella, G. and SpagnoloIstituto, A., 2015. The effect of monofilament thickness on the catches of gillnets for common sole in the Mediterranean small-scale fishery. Fisheries Research, 164:170–177. DOI: 10.1016/j.fishres.2014.11.014.

Holst, R., Madsen, N., Fonseca, P., Moth-Poulsen, T. and Campos, A., 1998. Manual for gillnet selectivity, European Commission, Denmark, 43p.

Hosseini, S. A., Kaymarm, F., Behzady, S., Kamaly, E. and Darvishi, M., 2017. Drift gillnet selectivity for Indo-Pacific King Mackerel, *Scomberomorus guttatus*, using girth measurements in the North of Persian Gulf. Turkish Journal of Fisheries and Aquatic Sciences, 17: 1145-1156. DOI: 10.4194/1303-2712-v17_6_08.

زمانی گستردۀ تر و در عمق‌های مختلف تکرار شود .(Millar and Holst, 1997)

تشکر و قدردانی

محققین بر خود لازم می‌دانند تا از همکاری اداره کل شیلات استان هرمزگان جهت انجام هماهنگی با صیادان اسکله پشت شهر بندرعباس در طول دوره نمونه برداری و همچنین از صبر و شکیبایی کلیه صیادان کمال تشکر نمایند.

منابع

تمسکی، م. ص. گرگین، س. قربانی، ر. قره‌آفاجی، ع. ا. و عقیل‌نژاد، س. م. ۱۳۹۵. بررسی خدمات فیزیکی و اثر انبارداری بر میزان استحکام تورهای گوشگیر تاس‌ماهیان. مجله علمی شیلات، سال بیست و پنجم، شماره ۴، صفحه ۱۶۱-۱۵۵

حسینی، س. ع. ۱۳۸۲. تعیین چشمۀ استاندارد تور گوشگیر ماهی گیدر در دریای عمان (سواحل سیستان و بلوچستان). پژوهش و سازندگی در امور دام و آبزیان، شماره ۶۰، صفحه ۱۱-۲

کمالی، ع. ۱۳۸۰. زیست‌شناسی تولیدمث ماهی سرخو معمولی در آبهای هرمزگان. مجله علمی شیلات، سال دهم، شماره ۱، صفحه ۱۰۹-۱۲۰
ولی‌نسب، ت. و هاشمی س. ا. ر. ۱۳۹۵. برآورد میزان ذخایر کفزیان آبهای شمال غرب خلیج فارس. مجله علوم و فنون دریایی ایران، دوره ۱۵، شماره ۱، صفحه ۷۵-۸۴-

Allen, G. R., 1985. Snappers of the world. FAO Species Catalogue. FIR/S125 vol.6. 207p.

Carol, J. and García-Berthou, E., 2006. Gillnet selectivity and its relationship with body shape for eight freshwater fish species. Ichthyol. 23, 654-660. DOI: 10.1111/j.1439-0426.2007.00871.x.

Cilbiz, M., Hanol, Z., Cilbiz, N., Çinar, S. and Savaşer S., 2014. Multifilament gillnet and trammel net selectivity for the Silver Crucian

- Karakulak, F. S and Erk, H., 2008.** Gill net and trammel net selectivity in the northern Aegean Sea, Turkey. *Scientia Marina* 72(3), 527-540. DOI: 10.3989/scimar.2008.72n3527.
- Kuronuma, K. and Abe, Y., 1986.** Fishes of the Persian Gulf. Kuwait Institute for Scientific Research. State of Kuwait. 357p.
- Millar, R. B. and Holst, R., 1997.** Estimation of gillnet and hook selectivity using log-linear models. *ICES. J. Mar. Sci.* 54: 471-477.
- Ozekinci, U., 2003.** Determination of selectivity of monofilament gillnets use for catching the Annular sea bream (*Dipodus annularis*) by length- girth relationships in Izmir Bay (Aegean Sea). *Turk J Vet Anim Sci.* 29: 375-380.
- Pet, J.S., Pet-Soede, C. and van Densen, W.L.T. 1995.** Comparison of methods for the estimation of gillnet selectivity to tilapia, cyprinids and other fish species in a Sri Lanka reservoir. *Fish. Res.*, 24: 141-164. DOI: 10.1016/0165-7836(94)00364-3.
- Pramanik, M. M. H., Rahman, M. A., Ahmed, T., Flura, M. M., Hasan Khan, M. H. and Mahmud Y., 2017.** Gill net selectivity of Hilsa (*Tenualosa ilisha*) in the Meghna River Estuary of Bangladesh. *Journal of Aquaculture Research and Development.* 8: 483. DOI: 10.4172/2155-9546.1000483.
- Santos, M. N., Canas, A., Lino, P. G. and Monteiro, C. C., 2006.** Length-girth relationships for 30 marine fish species. *Fisheries Research*, 78:368-373. DOI: 10.1016/j.fishres.2006.01.008
- Sechin, Y. T., 1969.** A mathematical model for the selectivity curve of a gillnet. *Rbyn. Khoz.*, 45 (9): 56-58.
- Veneza I., da Silva R., Sampaio I., Schneider H., Gomes G., 2017.** Molecular protocol for authentication of Snappers (*Lutjanidae perciformes*) based on multiplex PCR. *Food Chemistry*, 23:150-164. DOI: 10.1016/j.foodchem.2017.03.007.

Investigating the selectivity of gillnet used for catching the Crimson snapper (*Lutjanus johni* Bloch, 1792) by length-girth relationships in the coastal waters of Bandar Abbas

Haghigatjou N.¹, Gorgin S.^{*1}, Hosseini S.A.², Babanejad M.³

^{*}sgorgin@gau.ac.ir

1-Fishing and Exploitation Department, College of Fisheries and Environment, Gorgan University of Agricultural Sciences and Natural Resources, Gorgan, Iran

2-Off Shore Fisheries Research Center, Chabahar, Iran

3-Department of Statistics, College of Sciences, Golestan University, Gorgan, Iran

Abstract

Crimson snapper (*Lutjanus johni* Bloch, 1792) is the most important commercial species in the Persian Gulf and the Oman Sea. This species is caught by gillnets in the coastal waters of Bandar Abbas. In the present study, the gillnet with 17 cm stretched mesh size (knot to knot) is used for investigating the selectivity of gillnet used for catching the crimson snapper by length-girth relationships in the coastal waters of Bandar Abbas. Sampling was performed in May and July 2017. The total numbers of 1107 specimens were caught after 210 times of gillnetting. The weight, total standard length and girth of 4 points of body (locations of eyes, operculum, beginning of the dorsal fin and maximum girth) were measured for all specimens. Regression of length-girth, length-weight and selectivity curve were drawn based the data. Results showed that the total length was increased by increasing the body girth and weight of fish. Based on the body girth of two points including branch girth and maximum body girth, the selectivity of gillnet ranged from 62 to 76 cm in which the optimum length was 69 cm that is higher than L_{m50} . Therefore, it can be concluded that gillnet with 17 cm mesh size is suitable for catching crimson snapper.

Keywords: *Lutjanus johni*, Gillnet, length-girth relationships, Persian Gulf

^{*}Corresponding author